

O Campo Elétrico Gerado por uma Distribuição Fractal de Cargas

(The electric field produced by a fractal charge distribution)

Leonardo L. Portes

Departamento de Física, Universidade Federal de Minas Gerais

Cx Postal 702, CEP 30123-970 Belo Horizonte, MG, Brasil

leonardo@fisica.ufmg.br

Recebido em 22 de Fevereiro, 1999

Qual seria o campo elétrico produzido por uma distribuição de cargas de dimensão fractal D_q ? Neste trabalho apresentamos a resposta para algumas distribuições especiais, obtidas a partir da poeira de Cantor. Encontramos, para algumas regiões do espaço, um comportamento geral $E(r) \sim \frac{1}{r^{2-D_q}}$, onde r se refere a posição em planos de simetria da distribuição a partir da origem (e não a todo o espaço).

What would be the electrical field produced by a charge distribution with fractal dimension D_q ? In this paper we present the answer for some special distributions, obtained from the Cantor dust. We find, in some regions in the space, a general behavior $E(r) \sim \frac{1}{r^{2-D_q}}$, where r is the position in symmetry planes of the distribution from the origin (not the whole space).

I Introdução

No estudo da eletrostática nos deparamos, em geral, com distribuições simples de cargas: esferas, planos, cilindros, linhas, pontos etc. Nesses casos, onde os objetos eletricamente carregados possuem geometria euclidiana, podemos escrever explicitamente a função densidade de cargas, $\rho(r_0)$, e assim calcularmos o campo elétrico gerado. Vejamos, por exemplo, uma esfera de raio R , cuja densidade de cargas cresce linearmente com o raio: $\rho(r_0) = Ar_0$, sendo A é uma constante de proporcionalidade. A equação de Coulomb¹ afirma que, para qualquer distribuição de cargas, o campo gerado num ponto \vec{r} do espaço é

$$\vec{E}(r) = \int \int \int_V \frac{\rho(r_0)}{|\vec{r} - \vec{r}_0|^3} (\vec{r} - \vec{r}_0) d^3r_0. \quad (1)$$

Substituindo o valor da densidade de cargas da esfera em questão reescrevemos (1) como

$$E(r) = \int_V \frac{Ar}{|r - r_0|^2} d^3r_0. \quad (2)$$

Devido a simetria esférica da distribuição pudemos deixar de lado o caráter vetorial de (1), que simplifica bastante a integração. Uma forma às vezes mais direta

de encontrarmos o campo elétrico é através da lei de Gauss[2]. Por ambos os caminhos chegamos ao resultado

$$E(r) = \frac{AR^4}{8r^2} \equiv \frac{\text{constante}}{r^2}, \quad (3)$$

e se desejarmos o vetor $\vec{E}(r)$ sabemos que possui o módulo acima, direção radial e sentido para fora (dentro) se a distribuição for de cargas positivas (negativas).

O passo primordial no cálculo (analítico) do campo elétrico é escrevermos a função densidade de cargas $\rho(r_0)$, como no exemplo acima. Isso nem sempre é possível, como no caso de um objeto de dimensão fractal carregado eletricamente. Uma das características desse tipo de objeto é sua não analiticidade, o que inviabiliza escrever sua densidade de cargas explicitamente (embora sempre possamos adotar o cálculo numérico).

Relembremos alguns resultados da eletrostática que nos ajudarão a prosseguir. Se r é a distância de um ponto do espaço a um objeto eletricamente carregado o campo gerado por:

¹ Ao longo do texto não usaremos explicitamente nenhuma unidade de medida, mas escrevemos a equação de Coulomb dessa forma supondo um sistema de medida no qual $\frac{1}{4\pi\epsilon_0} = 1$.

1. uma carga puntual é proporcional a r^{-2} (o mesmo para uma distribuição uniforme de simetria esférica, com no exemplo acima - vide eq. (3));
2. uma linha infinitamente longa e de ρ uniforme varia com r^{-1} ;
3. um plano infinito, também de ρ uniforme, é constante: $E(r) \sim r^0$.

Nos casos acima observamos o comportamento geral

$$E(r) \propto \frac{1}{r^{2-D}}, \quad (4)$$

D sendo a dimensão do objeto eletricamente carregado.

Podemos nos perguntar se haveria distribuições de cargas, às quais pudéssemos atribuir uma dimensão fractal D_q , cujos campos tivessem essa característica: depender de forma tão simples da dimensão do objeto, como na eq.(4). A resposta que encontramos, depois de calcular numericamente a eq.(2) para várias distribuições de cargas de caráter fractal, foi afirmativa. A importância dessa confirmação é a de reforçar nossa intuição sobre o comportamento do campo elétrico, em relação à geometria da distribuição de cargas. Mas, antes de continuarmos, definiremos a *dimensão fractal de carga*.

II Dimensão Fractal de Carga D_q

Quando um objeto é auto-similar, a massa $M(r)$ contida dentro de uma esfera de raio r obedece à relação de escala

$$M(r) \propto r^{D_m}. \quad (5)$$

O expoente D_m é chamado de *dimensão de massa* e nos diz como a matéria preenche o espaço. Esta é uma definição da noção de fractal comumente usada na física [3][5].

O correspondente eletrostático é a distribuição de cargas no espaço. Podemos caracterizá-la por uma relação análoga a (5)[1]:

$$Q(r) \propto r^{D_q}, \quad (6)$$

onde $Q(r)$ se refere à carga total na interseção entre a distribuição de cargas e uma esfera de raio r (podemos usar, da mesma forma, quadrados ou cubos de aresta r). Se, por exemplo, a carga na interseção com um círculo de raio r_1 for Q_1 e com um círculo de raio r_2 for Q_2 a dimensão fractal de carga (o expoente D_q de (6)) será

$$D_q = \frac{\log Q_2 - \log Q_1}{\log r_2 - \log r_1} \equiv \frac{\log \frac{Q_2}{Q_1}}{\log \frac{r_2}{r_1}} \quad (7)$$

O próximo passo será a construção de *fractais de carga* em dimensões de imersão $d = 1$ e $d = 2$, com os quais verificaremos (4). Todos serão baseados no fractal conhecido como *Poeira de Cantor*.

III Dimensão de Imersão $d = 1$

III.1 A poeira de Cantor eletricamente carregada

A poeira de Cantor é um fractal cuja dimensão de imersão é 1 (i.e., ela está contida em uma linha). Sua construção segue duas etapas: interpolação e extração[4]. Na primeira consideremos o segmento de reta $[0, 1]$ ao longo do eixo x , chamado de iniciador[1] (figura 1). Retiramos uma fração central c , como $1/3$ (chamamos isso de gerador). Ficamos, então, com dois segmentos, $[0, \frac{1}{3}[$ e $]\frac{2}{3}, 1]$. Repetimos o processo infinitas vezes, o que nos leva a um conjunto infinito de pontos espalhados no intervalo. Tal como está, a poeira de Cantor não é auto-similar. Com este fim, copiamos, segunda etapa, o conjunto $[0, 1]$ anterior em $[2, 3]$, obtendo um objeto três vezes maior que o primeiro ($[0, 3]$) e assim sucessivamente. Finalmente, chegamos a um conjunto que se estende de 0 a ∞ e cuja dimensão, como definida em (5), é

$$D_m = \frac{\log 2}{\log 3} = 0,6309\dots$$

Variando o quanto retiramos na primeira etapa (se $c = \frac{1}{2}$ ou $c = \frac{1}{4}$, por exemplo), obtemos dimensões diferentes, mas sempre entre 0 e 1.

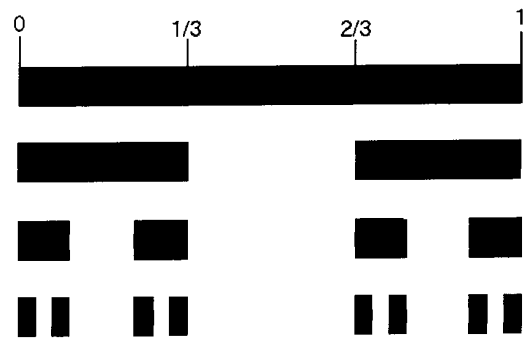


Figura 1. Construção da Poeira de Cantor.

Podemos construir um fractal de carga baseado na poeira de Cantor considerando como iniciador o segmento $[0, L]$ linearmente carregado no eixo X , de carga total Q (o fato de um dos extremos ser L e não 1 nos ajudará posteriormente). Se no processo de interpolação retirarmos um segmento da reta, e junto a carga contida neste, ao final não nos restará carga alguma, pois a carga total será $Q(n) = (1 - c)^n Q$, n o número de iterações, e

$$\lim_{n \rightarrow \infty} (1 - c)^n Q = 0.$$

Por esta razão, o gerador, ao invés de simplesmente eliminar um segmento central, distribui as cargas da fração c central igualmente para $[0, \frac{L(1-c)}{2}[e] \frac{L(1+c)}{2}, L]$. Ficamos, então, com dois segmentos de carga $\frac{1}{2}Q$. Na próxima geração, teremos quatro segmentos de carga $\frac{1}{4}Q$ e assim sucessivamente. Numa geração n teremos 2^n segmentos de carga $(\frac{1}{2})^n Q$, embora a carga total permaneça constante. Efetuando a etapa de extrapolação, cobriremos o segmento $[0, \infty[$ de cargas.

Como estamos fazendo uma analogia com a linha reta e infinita (uniformemente) carregada, devemos entender nosso fractal no segmento $] - \infty, 0]$. Para tal simplesmente refletiremos o conjunto $[0, \infty[$ através do plano YoZ . Um outro modo seria colocarmos um plano condutor infinito, aterrado, preenchendo o plano YoZ , que equivale, pelo método das imagens[2], à reflexão.

Tal reflexão coloca duas cargas na origem. Como o acréscimo de apenas uma carga puntual não interfere no comportamento geral do campo E , consideraremos, para efeito de cálculo, apenas uma carga na origem.

Devido à simetria de reflexão em relação ao plano YoZ , o campo elétrico nele é radial, e seu módulo depende apenas da distância r a origem:

$$E(\vec{r} \in YoZ) = E(r).$$

Variando r , conjecturamos encontrar $E(r) \sim \frac{1}{r^\alpha}$.

III.2 Cálculo de $E(r)$

Como não podemos simular computacionalmente um fractal genuíno infinito, $] - \infty, \infty[$, faremos grande o suficiente, $] - L, L[$, e limitaremos o processo de interpolação até uma geração N . Esse objeto, tal como está, ainda não é um fractal, mas um conjunto finito (e numerável) de pequenas barras carregadas (que indexaremos pela letra i) no qual, se fizermos o limite $N \rightarrow \infty$, se torna um fractal. Ele é chamado de *pré-fractal*[1].

Ao calcularmos o campo elétrico numa dada posição P , devemos fazer com que o comprimento das barras da N -ésima geração seja bem menor do que a distância destas a P . Dessa forma, é mais conveniente observarmos não a geração N , mas o comprimento l_N de suas barras, que é dado por $l_N = (\frac{1}{2})^N L (1-c)^N$. Assim, quando mencionarmos que para um dado fractal $l_N < k$ estaremos dizendo que paramos o processo de iteração ao atingir a primeira geração em que o comprimento das barras é inferior a k . O limite $N \rightarrow \infty$ se torna equivalente, então, a $k \rightarrow 0$.

Para cada campo $\vec{E}(r)_i$ (estamos olhando $\vec{r} \in YoZ$), gerado por uma barra i situada em x_i , haverá um $\vec{E}(r)_j$, gerado por sua reflexão na posição $x_j = -x_i$, fazendo as componentes x de $\vec{E}(r)_i$ e $\vec{E}(r)_j$ se anularem. Dessa forma, basta considerarmos duas vezes a parte radial de $E_i(r)$ das barras localizadas no semieixo

não negativo de X . Como cada barra é muito pequena em relação a sua distância ao plano YoZ aproximaremos seu campo pelo de uma carga puntual.

Após essas simplificações chegamos a

$$E(r) = 2 \sum_i \frac{(\frac{1}{2})^N Q r}{(r^2 + x_i^2)^{\frac{3}{2}}} \tag{8}$$

O conjunto x_i define o fractal usado e depende de L , k e c . Ele foi gerado por um algoritmo simples que funciona como o processo de interpolação. Através dele, calculamos a expressão (8) para $c = \frac{1}{3}$ (ou seja, $D_q = \frac{\log 2}{\log 3}$), $(\frac{1}{2})^N Q = 1$, $L = 10$ e $k = 10^{-4}$. A distância r variou entre 0,1 e 1, pois desta forma $k \ll r \ll L$, ou, em outras palavras, nem tão perto para vermos o comprimento das barras e nem tão longe para não percebermos que a distribuição é finita. Na figura 2.a mostramos $\log E(r) \times \log r$. Vemos que este gráfico é praticamente uma reta (o coeficiente de correlação é $R = 0,9999998$), o que sugere uma relação do tipo lei de potência

$$E(r) \propto \frac{1}{r^\alpha}, \tag{9}$$

onde α é a inclinação da reta. Fazendo a regressão linear, encontramos

$$\alpha = 1,36776 \pm 0,00008,$$

que é bem próximo do valor esperado

$$(2 - D_q) = 1,36907....$$

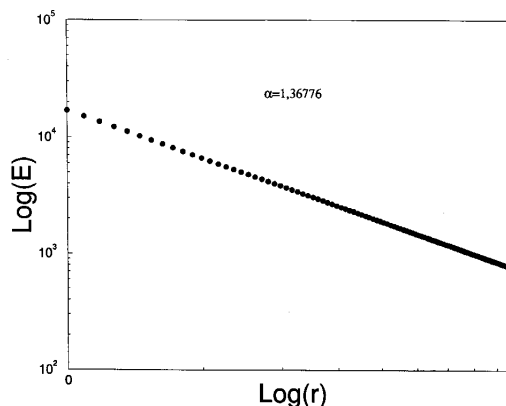


Figura 2a. Gráfico $\log x \log$ para o campo elétrico em função da distância r . A inclinação force $\alpha = 1,36776 \pm 0,00008$.

Como vimos, podemos explorar dois limites: $L \rightarrow \infty$ e $N \rightarrow \infty$ ($k \rightarrow 0$) e esperamos que $\alpha = \alpha(L, k)$. Apresentamos o comportamento de α , nesses limites, nas figuras 2.b e 2.c, respectivamente. Na primeira, temos $\alpha(L, k = 10^{-4}) \times \log L$ e constatamos que $L \rightarrow \infty \implies \alpha \rightarrow (2 - D_q)$. Como para $L > 100$ os valores

de α são praticamente os mesmos, fixamos $L = 100$ e variamos k na fig. 2.c: $\alpha(L = 100, k) \times \log k$. Novamente, observamos que α se aproxima do valor teórico $k \rightarrow 0 \implies \alpha \rightarrow (2 - D_q)$, chegando a uma concordância de três casas decimais (Tabela I)!

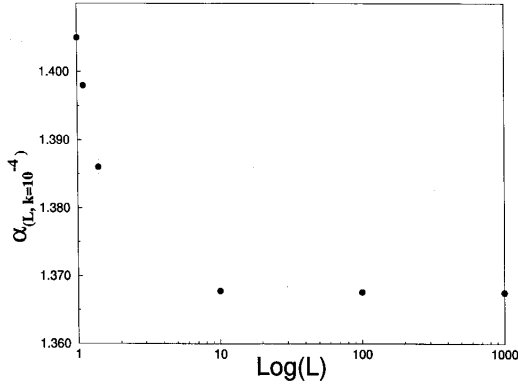


Figura 2b. Expoente α em função do tamanho (L) do fractal. O valor de k for fixado em $k = 10^{-4}$.

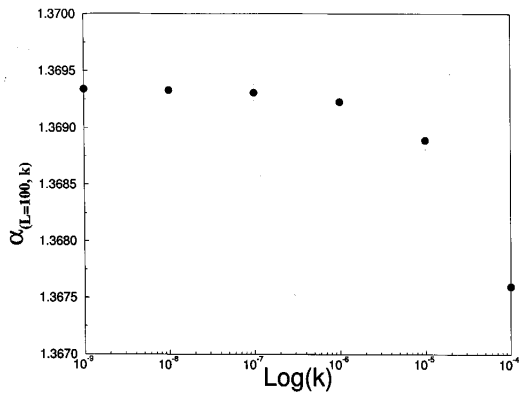


Figura 2c. Expoente α em função do parâmetro k . O tamanho do fractal foi fixado em $L = 100$.

Repetimos esses cálculos para dimensões fractais diferentes (bastando modificar a fração c no algoritmo) e encontramos as mesmas características acima. Montamos a tabela I com os melhores² valores do expoente α . Nela constam os dados referentes a $L = 100$ e $k = 10^{-9}$.

Tabela I: Valores de α e $2 - D_q$ para algumas distribuições de dimensões diferentes.

c	D_q	$2 - D_q$	α
1/3	0,63093	1,36907	$1,36934 \pm 0.00007$
1/2	0,5000	1,5000	1.5018 ± 0.0005
3/4	0,333	1,666	1.682 ± 0.003
1/4	0,79248	1,20752	$1.29327 \pm 0,00003$

²Para cada fractal calculamos vários expoentes α , cada um relativo a parâmetros k e L diferentes. Os melhores valores se referem a k pequeno e L grande, simultaneamente.

IV Dimensão de Imersão $d = 2$

IV.1 Barras de Cantor carregadas

Consideremos distribuições com dimensão de imersão 2 e contidas em planos. Uma opção é simplesmente estender o conjunto $] - \infty, \infty[$ anterior, infinitamente, ao longo do eixo Y . Após essa operação, chegamos a um conjunto de fitas infinitamente longas, com densidade de carga ρ , no plano XoY , simetricamente dispostas ao plano YoZ (fig. 3).

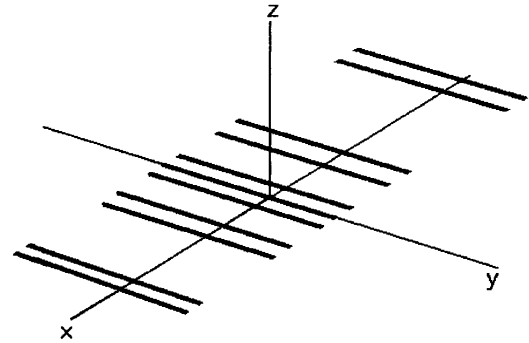


Figura 3. Poeira de Cantor estendida ao longo do eixo Y . A dimensão deste objeto é igual à da poeira que o gerou acrescida de 1.

Se medirmos a carga na interseção desse conjunto com um quadrado cujos lados, de comprimento r , são paralelos aos eixos X e Y veremos que ela segue a lei de potência (6). A dimensão de carga desse conjunto de *barras carregadas* é igual à da poeira de Cantor que o gerou mais 1.

Pelos mesmos argumentos anteriores, somente as contribuições paralelas ao eixo Z não se cancelam, e o campo $E(\vec{r} \in YoZ) = E(z)$ será a soma dos campos gerados por linhas infinitas carregadas (veja que devido a largura das fitas elas podem ser aproximadas por linhas)

$$E(z) = 2 \sum_i \frac{\rho}{z^2 + x_i^2}, \quad (10)$$

onde ρ é a densidade linear de cargas de uma linha. Calculamos (10) da mesma forma que na seção anterior. O algoritmo dos x_i foi o mesmo, bastando mudar o campo gerado para a forma (10). Fizemos $c = \frac{1}{3}$ ($D_q = \frac{\log 2}{\log 3} + 1$), $\rho = 1$, r variando de 0,1 a 1, $L = 10$

e $k = 10^{-4}$. Novamente o campo $E(z)$ se comportou como na fig. 2.a, sendo o coeficiente de correlação $R = 0,9999892$. A regressão linear forneceu

$$\alpha = 0.3721 \pm 0.0002.$$

Exploramos os limites $k \rightarrow 0$ e $L \rightarrow \infty$ como no caso anterior. Novamente α tende rapidamente a $(2 - D_q)$.

Repetimos essa análise para outras dimensões de carga e montamos a tabela II, com valores de α para $L = 100$ e $k = 10^{-9}$.

Tabela II: Valores de α e $2 - D_q$ para as barras de Cantor.

c	D_q	$2 - D_q$	α
1/3	1,630930	0,369070	0.369296 ± 0.00003
1/2	1,5000	0,5000	$0,5011 \pm 0,0002$
3/4	1,333	0,666	$0,679 \pm 0.002$
1/4	1,79248	0,20752	$0,29366 \pm 0,00002$

IV.2 ‘Anéis de Cantor’

Um fractal que se mostrou muito interessante pode ser construído girando-se a poeira de Cantor $[0, \infty[$ em torno do eixo Z . O resultado final é um conjunto auto-similar de anéis concêntricos de raio x_i (fig. 4). A carga elétrica foi colocada de duas maneiras distintas. Primeiro, fizemos com que a densidade linear de cargas de cada anel fosse a mesma. Depois a carga total de cada anel foi feita igual. As dimensões para cada caso são diferentes, sendo a da segunda menor que a da primeira.

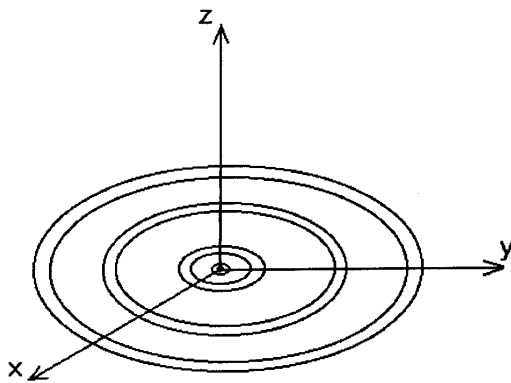


Figura 4. ‘Anéis de Cantor’. A dimensão fractal de carga depende de como distribuímos as cargas elétricas nos anéis.

Devido à simetria cilíndrica em torno do eixo Z , o campo ao longo deste só possui a componente z e é da forma $E(\vec{r} \in Z) = E(z)$ e dado por (para um pré-fractal)

$$E(z) = \sum_i \frac{zQ_i}{z^2 + x_i^2}. \tag{11}$$

Assim, procuraremos o comportamento (6) nesse eixo. O conjunto x_i é o mesmo usado nos casos anteriores.

IV.2.1 Densidade de cargas constante

Com essa escolha, quanto maior o raio do anel maior será a sua carga. Calculemos D_q considerando que a poeira no estágio pré-fractal que gerou o conjunto de anéis tenha $L = 3$ e $k = 1$ (acabamos de lhe retirar o terço central). Girando o conjunto, ficamos com dois anéis de carga proporcional à área (fig. 5). A carga na interseção desse objeto e uma esfera de raio $r = 1$ é $Q = \rho\pi$ (ρ a densidade de cargas). Para $r = 3$ temos $Q = \rho(6\pi)$. Usando a eq.(7), obtemos a dimensão de cargas

$$D_q = \frac{\log 6}{\log 3} \simeq 1,63093$$

que é a mesma dimensão das ‘barras de Cantor’. Para frações c diferentes, o procedimento é o mesmo.

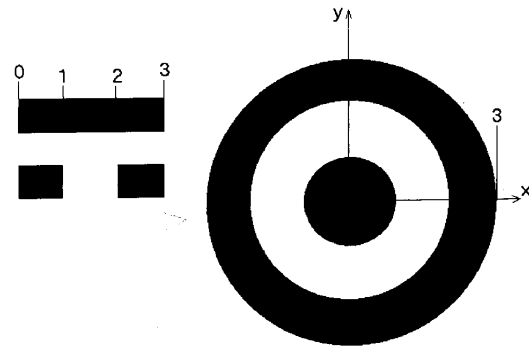


Figura 5. ‘Anéis de Cantor’ na fase pré-fractal: $L = 3$ e $k = 1$.

Calculamos (11) para esse fractal ($c = 1/3$) com z variando entre 0,1 e 1, $L = 10$ e $k = 10^{-4}$. Para satisfazer a condição da densidade de cargas ser a mesma em cada anel fizemos $Q_i = x_i$ em (11) (veja que, sendo os anéis muito finos, a carga se torna proporcional ao perímetro $2\pi x_i$).

Novamente $\log E(z) \times \log z$ foi uma reta ($R = 0,999966$) e cuja inclinação nos forneceu

$$\alpha = 0.3780 \pm 0,0001.$$

Melhorando a construção do fractal com os limites $L \rightarrow \infty$ e $k \rightarrow 0$ vemos α se aproximar de $(2 - D_q)$, como em fig. 2.b e 2.c. Na tabela III, seguem os valores de α para dimensões diferentes. Os dados se referem a $L = 100$ e $k = 10^{-9}$.

Tabela III: Valores de α e $2 - D_q$ para os anéis de Cantor de densidades de cargas iguais.

c	D_q	$2 - D_q$	α
1/3	1,630930	0,369070	0.3693 ± 0.0001
1/2	1,5000	0,5000	0.5028 ± 0.0009
3/4	1,333	0,666	$0,705 \pm 0,008$
1/4	1,79248	0,20752	0.29409 ± 0.00006

IV.2.2 Carga constante

Calculemos D_q quando cada anel possui a mesma carga Q . Consideremos que o conjunto está no estágio pré-fractal com $L = 3$ e $k = 1$. A carga na interseção desse objeto e uma esfera de raio $r = 1$ é Q , e para $r = 3$ será $2Q$. Segue, então, usando a eq.(7), a dimensão

$$D_q = \frac{\log 2}{\log 3} \simeq 0,63093,$$

que é a mesma da poeira que a gerou. Aqui parece haver uma inconsistência, mas lembremo-nos que, depois de girar a poeira, *redistribuímos* as cargas, dessa forma a dimensão poderia ter qualquer valor.

Fazemos a carga constante com a substituição $Q_i = Q = 1$ em (11).

Encontramos o comportamento linear de $\log E(r)$, como esperado. Para $L = 10$, $k = 10^{-4}$ e r entre 0,1 e 1 a regressão linear nos forneceu $R = 0,9999998$ e

$$\alpha = 1,36946 \pm 0,00007.$$

Quanto melhor a construção do fractal, limites $k \rightarrow 0$ e $L \rightarrow \infty$, mais α se aproximou de $(2 - D_q)$. A tabela IV mostra os melhores valores que obtivemos para α . Nestes $L = 100$ e $k = 10^{-9}$.

Tabela IV: Valores de α e $2 - D_q$ para os anéis de Cantor com cargas iguais.

c	D_q	$2 - D_q$	α
1/3	0,630930	1,369070	1.36934 ± 0.00007
1/2	0,5000	1,5000	1.5018 ± 0.0005
3/4	0,333	1,666	$1,683 \pm 0,003$
1/4	0,79248	1,20752	1.29327 ± 0.00003

V Conclusão

A concordância entre os valores de α e $2 - D_q$ não é de todo surpreendente. Se utilizarmos a densidade média de cargas ao invés do valor exato, que não nos é possível escrever explicitamente, poderemos integrar (1). Por exemplo, consideremos a poeira de Cantor da seção 3, de dimensão de cargas D_q . Fazendo $\rho = \lambda x^{D_q-1}$, onde λ é uma constante, e substituindo em (1)

$$E(r) = 2 \int_0^\infty \frac{\lambda x^{D_q-1}}{(r^2 + x^2)} \frac{r}{(r^2 + x^2)^{\frac{1}{2}}} dx,$$

onde o fator $r/(r^2 + x^2)^{\frac{1}{2}}$ se deve à simetria de reflexão da distribuição em relação ao plano YoZ , que elimina contribuições do campo que não sejam radiais.

Fazendo a mudança de variável $z = \frac{x}{r}$, chegamos ao resultado

$$E(r) = \frac{\gamma}{r^{2-D_q}}, \quad (12)$$

onde γ é uma constante igual a $2 \int_0^\infty \frac{\lambda D_q z^{D_q-1}}{(1+z)^{\frac{3}{2}}} dz$. A equação (12) corresponde ao que encontramos anteriormente.

Podemos obter (12) para vários arranjos de cargas, não necessariamente autosimilares, bastando que $\rho = \lambda x^{D_q-1}$. Mas o fato disso ser também verdade para uma distribuição fractal reforça nossa intuição de que o expoente de r reflete a forma como as cargas ocupam o espaço, já que D_q tem um caráter geométrico.

Assim, existe a possibilidade de outras distribuições fractais de cargas seguirem essa lei de potência. Mas devemos fazer um arranjo especial de forma que o fractal seja infinito, pois, do contrário, para grandes distâncias comparadas ao seu tamanho, haverá a interferência do fator assintótico r^{-2} . Examinamos alguns arranjos para o tapete de Sierpinski e a poeira de Cantor aleatória[1], mas não encontramos nada como (4) (talvez devido ao arranjo usado). Seria realmente interessante encontrarmos os mesmos resultados aqui expostos para um fractal construído a partir de um objeto bi-dimensional, como o tapete de Sierpinski.

Observamos ainda uma diferença mais acentuada entre α e $2 - D_q$ quando $c = 1/4$. Isso ocorre devido à precisão finita do cálculo computacional. Como retiramos, a cada iteração, uma pequena parte do conjunto devemos fazer N muito grande, implicando num fractal muito denso. Dessa forma a soma do campo de cada ponto, com muitos termos, se torna imprecisa, pois a cada passo somamos um número pequeno (o campo do ponto número 2000, por exemplo) ao resultado prévio de tal soma, que é grande. Assim, dependendo de quão pequenos esses termos são em comparação com o total, vemos um erro relativo de 50% (seções 4.1 e 4.21) e 10% (seções 3.2 e 4.22).

VI Agradecimentos

A Carlos Moreira pelas sugestões e críticas e a Jefferson Lino Couto pelas figuras. Este trabalho foi parcialmente financiado pelo CNPq.

References

- [1] J. Feder. *Fractals*, Plenum Press, New York (1988).
- [2] J.D. Jackson. *Classical Electrodynamics*. Wiley, New York (1975).
- [3] B.Mandelbrot. Self-affine fractal sets, I: The basic fractal dimensions. *Fractals in Physics*, North-Holland Physics Pub. (1986).
- [4] B. Mandelbrot. *Objetos Fractais*, Gradiva (1991).
- [5] D.W. Schaefer and K.D. Keefer. Structure of random silicates: Polymers, colloids and porous solids. *Fractals in Physics*, North-Holland Physics Pub. (1986).